

## V-2 密度躍層の低下に関する基礎的実験

九州大学 正椿東一郎  
九州工業大学 正浦勝  
九州工業大学 学生員 中村邦明

はじめに 密度成層化された貯水池や海域において、上層に何らかの外乱力が加わると、静止状態にある下層水が成層界面を越えて上層に運行され、上層密度の増加と躍層の低下をもたらす。本報告はこの問題に関する基礎的研究として、二成層密度分布の場を実験水槽内に作り、振動格子で上層に乱れを与える、界面の低下、界面近傍の密度変動周期、運行係数などを測定し、理論の検討を行なつておる。

**実験装置** 実験装置の概略をFig.1に示す。水槽は木材 $25.4 \times 25.4 \times 40$ cmで蓋を設けた。格子は $1 \times 1 \times 25$ cmの角柱が中心間隔5cmで各5本直交する形である。格子はその中心が $1\text{cm}$ の棒により水槽底面のオイルシールを通してスコット・クランプに連結されている。成層の場合は塩水により形成した。実験はモーター駆動とともに、各時刻における鉛直密度分布をX-Yレコードに記録させた。

**密度変化と界面の変動** Fig.2に測定した鉛直密度分布の時間的変化の一例を浮力 $B = g(P - P_0)/\rho_0$ で示す。実線・破線・一点鎖線はそれぞれ時刻0, 11, 270分後の分布である。これは $B_0 = 6.58$ ,  $D_0 = 5\text{cm}$ , 格子ストローフ $\zeta_0 = 2\text{cm}$ , 振動数 $f = 3\text{Hz}$ の場合である。この図からも上層の混合層では乱れのために密度が一様であることがわかる。界面の状態は乱れの強さによつて異なるが、Fig.2の場合には界面は乱れ渦により下方に打撃され直径 $2\text{cm}$ 、深さ $1\text{cm}$ 程度の溝が生じ、つぎに浮力により反衝する時、頂部が壊れて塩水が上方に噴出で舞い上がる様子が観察された。界面における密度の変動周期 $T$ を測定したものとFig.3に示す。これより、界面が格子から離れるにともない $T$ が大きくなり、混合の頻度が減少することがわかる。

**躍層低下のエネルギー的考察** 跳層低下の定量的評価は前報において、乱れエネルギーの收支の観点から述べたが、これによれば二層分布の場合へ基本式は  $\frac{1}{2}B(D_0 + D_s) dD/dt = G_{\text{f}} - [W(\rho_0 + \rho_s)]_{-D} - \int_D^{\infty} \epsilon dz \dots \dots (1)$  で表わされる。  
ここで浮力 $B$ 、界面位置 $D$ はFig.1のようになると。 $G_{\text{f}}$ は格子の生成エネルギーで $\text{f} = 4.704(1+z)^3 \dots \dots (2)$ となる。 $\epsilon$ はエネルギー発散項と消散項は乱れの特性量が必要となるが、前報ではThompson-Turnerの $\zeta_0 = 1\text{cm}$ での均一流体に関する測定結果を整理して、水平乱れ強度 $U'/4\zeta_0 = m \cdot (z/z_0)^{-1} \dots \dots (3)$  積分スケーリング $1/z_0 = R_{\text{f}} \cdot (z/z_0) \dots \dots (4)$

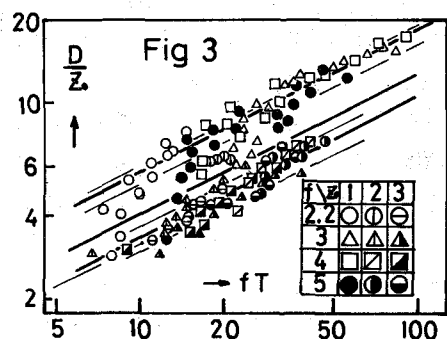
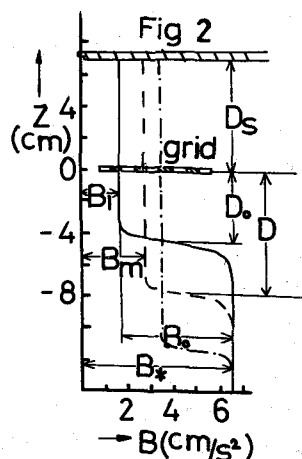
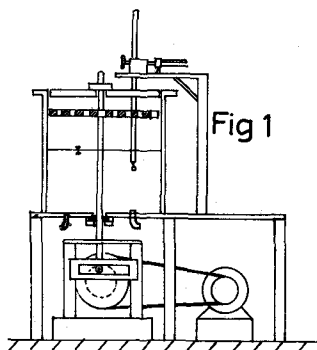
(1)式も $z_0 \leq 1$ では一定値 $m$ をとる。以下 $z_0 \geq 1$ の $m$ を記述する)

とした。拡散項は  $W(\rho_0 + \rho_s)|_{-D} = R_{\text{f}}(1+z)^3 (D/z_0)^3 \dots \dots (5)$

ここで  $R_{\text{f}} = \frac{3}{2} r(1+\alpha) m^3 \dots \dots (6)$ 。消散項は栗原の式  $\epsilon = (U'^2)^3 / K_{\text{f}} z_0 \dots \dots (7)$  に等方性を仮定して、 $\int_D^{\infty} dz = [4 - (D/z_0)^3] M_0 (1+z)^3 \dots \dots (8)$

ここで  $M_0 = \sqrt{3} m^3 / 8 K_{\text{f}} R_{\text{f}} \dots \dots (9)$  を得た。これらの関係式を式(1)に代入し、 $z_0 \geq 1$ に対して積分を行なえば躍層低下量

$D' = D - D_0 \dots \dots (11)$  に関して次の結果を得る。



$$\frac{D'}{D_0} = (1 + \tau)^{1/4} - 1 \quad \dots \dots (11) \quad \text{ここで, } \tau = 8(M_0 - R_i)(Z_0/D_0)^4 f t / R_{10} \dots \dots (12) \quad (\text{無次元時間}),$$

$$R_{10} = B_0(D_0 + D_s)/(f Z_0)^2 \dots \dots (13) \quad (\text{無次元Richardson数})。$$

実測した界面以下の時間的变化を Fig.4 に示す。横軸の無次元時間は式(12)で  $(M_0 - R_i) = 0.135$  とし、これ

は式(3), (4)の  $M_0 = 0.65$  で  $\tau = 0.1$  が成立すると予測したものである。Fig.4 に式(11)を示したが、 $Z_0 = 1\text{cm}$  のばく致するが、 $D_0 < 5\text{cm}$  では  $D'$  が小さいと過大に、 $Z_0$

$> 2\text{cm}$  では適合しないこと、とくに  $D_0$  が大きいと過小になることがわかった。これら的原因は式(3), (4)の適用範囲に問題があると考えられ、 $Z_0$  が異なる場合を次のように仮定する。

$U/f Z_0 \sim (Z_0/M)^S (Z_0/M)^M \dots \dots (14)$   
 $l/M \sim (d/M)^k (Z_0/M)^S \dots \dots (15)$   $M: \text{Mesh}, d: \text{格子幅}$

乱れの測定が困難であるが、前述した観察から、界面変動の周期  $T$  が漏の寿命時間  $\tau_e$  に比例するものと仮定して、 $T \sim \tau_e = l/u \dots \dots (16)$  に式(14), (15)を代入して次式を得る。 $fT = (d/M)^k (Z_0/M)^{S-1} (Z_0/M)^{M-1} \dots \dots (17)$ 。一方、Fig.3 と Fig.4 は  $fT = \begin{cases} \text{const.} & ; (R_i < 1) \\ (M_0/Z_0) (D_0/M)^2 & ; (R_i > 1) \end{cases} \dots \dots (18)$  式(17), (18)より、 $S-M, S$  の満足すべき条件と、さらに Thompson らの資料を再検討して、 $U, l$  を次のようになる。

Range	I	II	III	式
$Z_0/M$	$0 \sim 1$	$1 \sim 2.4$	$2.4 \sim 6$	
$U/f Z_0 =$	$\text{const.} = M_0$	$M_0 (Z_0/M)^{-1}$	$2.4 M_0 (Z_0/M)^2$	(19)
$l/M =$	$\text{const.} = k_0$	$k_0 (Z_0/M)$	$2.4 k_0$	(20)

詳細は省略するがこの表の關係を用いれば、 $D > 2.4M$  であれば III の傾きとなり、 $Z_0 \leq D_0 > 2.4M$  では II の式は、 $D/M = 2$ ,  $D_0/M = Z_0$ ,  $\lambda = 4R_i/M_0$  として表示すれば次のようになる。

$$(7^k - 7^0)/6 + (7^k - 7^5)\lambda^{1/5} + (7^k - 7^4)\lambda^{1/4} + (7^k - 7^3)\lambda^{1/3} + (7^k - 7^2)\lambda^{1/2} + (7^k - 7^1)\lambda^{1/1} + \lambda^{1/0} \ln |7 - \lambda|/70\lambda| = 2.76 R_i (Z_0/M) f t / \lambda R_{10} \dots \dots (21)$$

入力  $\lambda$  から  $Z_0$  が小さければ  $Z_0 \sim 1 \sim 2$  で、大きければ  $\sim 10^1$  であり、 $D$  の大きい時の傾きはほぼ満足される。

定量的評価は次回に報告する。界面における連続係数  $E = (dD/dt)/u'$  と局所 Richardson 数  $R_i = B(D_s + D)/u'^2$

の測定結果を Fig.5 に示した。 $Z_0 \geq 2\text{cm}$  の結果は  $E \sim R_i^{-1}$  からすれば  $E \sim R_i^{-1}$  に式(19)の II の傾きの式(17)を用いたためである。式(19), (20)のように乱れの強度、スケールが水槽内で変化しているものと推定される。

最後に、スケルトンの設計と製作に多大な尽力を費してたか工大・機械工学科・鎌守一先生と実験と解析に協力されたたか工大・田中傑、苦尾芳昭、西村直人氏に心から感謝の意を表します。

参考文献 1) 深井義和; 土木学会年譲 II-222 (1978), 2) Thompson-Turner; J.F.M. vol. 67 (1975), 3) Linden; J.F.M. vol. 71 (1975)

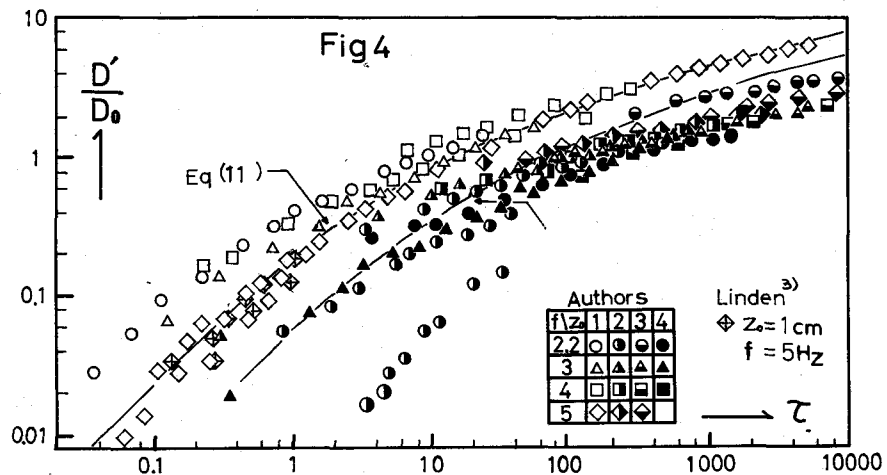


Fig.4

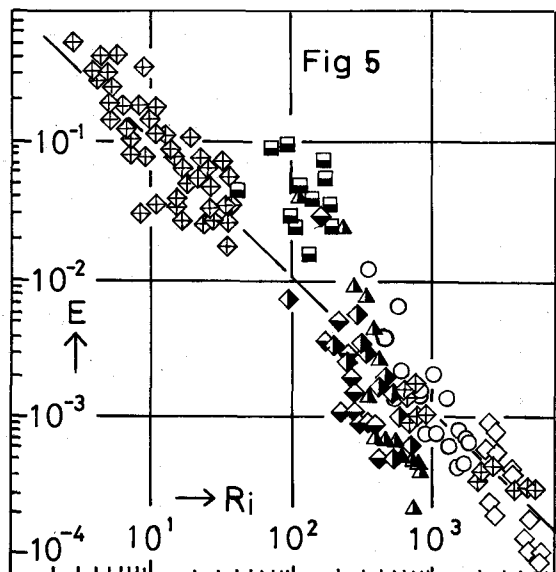


Fig.5